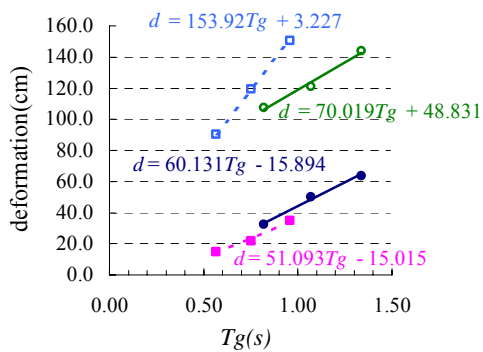


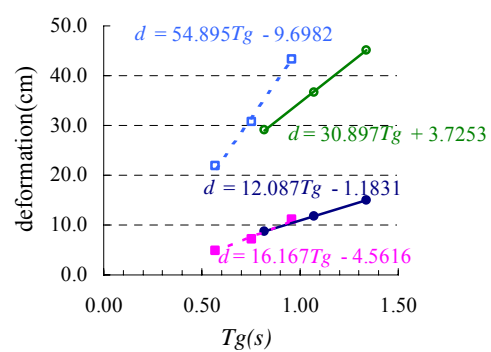
付録C 地盤固有周期と1次元解析による推定残留変形量

表-C.1 地盤固有周期と推定残留変形量 (重力式:水深-7.5m,kh=0.10)

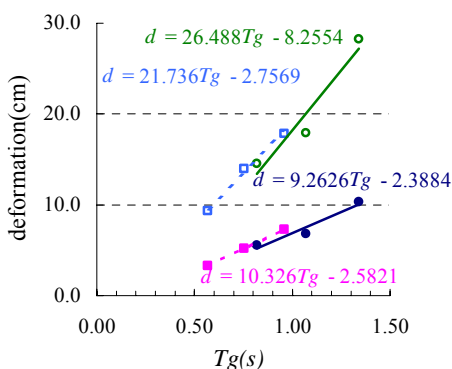
		加速度200Gal										加速度350Gal									
		変形量(cm)					Tg(s)					変形量(cm)					Tg(s)				
		no18	no19	no20	no22	no23	no18	no19	no20	no22	no23	no18	no19	no20	no22	no23	no18	no19	no20	no22	no23
1	ave	50.2	11.9	6.8	13.3	74.4	1.07	1.07	1.07	1.07	1.07	121.1	36.6	18.0	38.5	189.3	1.07	1.07	1.07	1.07	1.07
	-σ	63.8	15.0	10.4	17.4	102.1	1.34	1.34	1.34	1.34	1.34	143.9	45.2	28.2	42.9	236.5	1.34	1.34	1.34	1.34	1.34
	+σ	32.4	8.7	5.6	9.8	51.4	0.82	0.82	0.82	0.82	0.82	107.5	29.1	14.5	34.1	163.1	0.82	0.82	0.82	0.82	0.82
2	ave	21.6	7.2	5.2	11.5	38.1	0.75	0.75	0.75	0.75	0.75	119.2	30.7	14.0	30.9	172.4	0.75	0.75	0.75	0.75	0.75
	-σ	34.8	11.1	7.3	14.9	59.6	0.96	0.96	0.96	0.96	0.96	150.6	43.3	17.9	38.9	214.7	0.96	0.96	0.96	0.96	0.96
	+σ	14.9	4.8	3.3	8.7	28.8	0.57	0.57	0.57	0.57	0.57	90.4	21.9	9.4	25.5	142.2	0.57	0.57	0.57	0.57	0.57



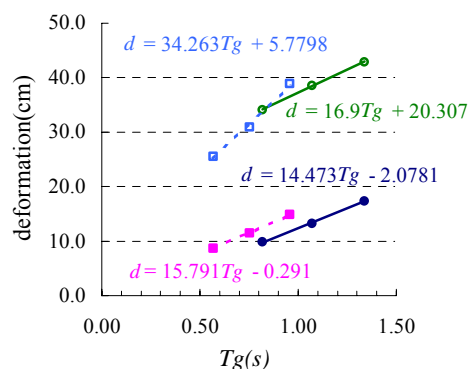
1) Dip波(no.18)



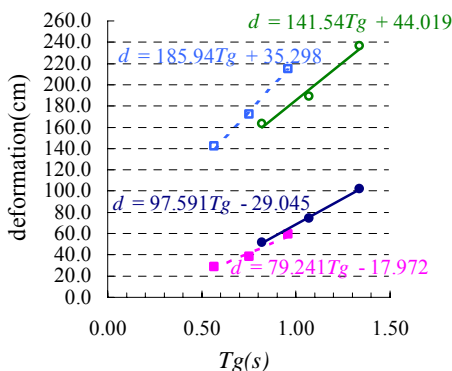
2) 八戸波(no.19)



3) 神戸波(no.20)



4) Strike波(no.22)



5) Subduction波(no.23)

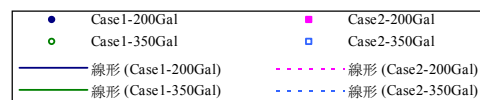
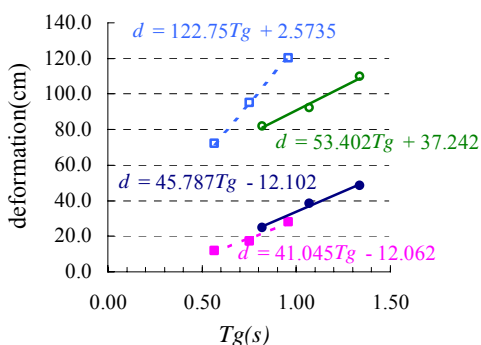


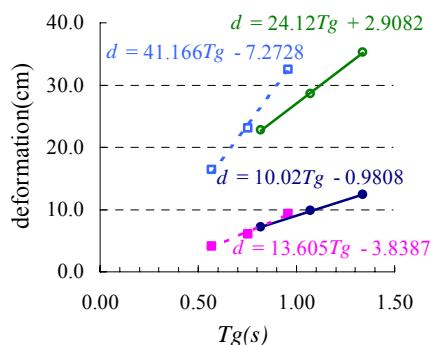
図-C.1 地盤固有周期と推定残留変形量の関係 (重力式:水深-7.5m,kh=0.10)

表-C.2 地盤固有周期と推定残留変形量 (重力式:水深-7.5m,kh=0.15)

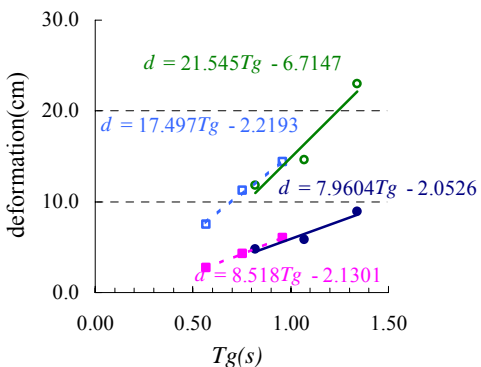
			加速度200Gal										加速度350Gal									
			変形量(cm)					Tg(s)					変形量(cm)					Tg(s)				
			no18	no19	no20	no22	no23	no18	no19	no20	no22	no23	no18	no19	no20	no22	no23	no18	no19	no20	no22	no23
-7.5	1	ave	38.2	9.8	5.9	11.0	59.0	1.07	1.07	1.07	1.07	1.07	92.4	28.6	14.6	31.5	143.7	1.07	1.07	1.07	1.07	1.07
		-σ	48.6	12.4	8.9	14.4	80.9	1.34	1.34	1.34	1.34	1.34	109.7	35.3	23.0	35.1	179.5	1.34	1.34	1.34	1.34	1.34
		+σ	24.7	7.2	4.8	8.1	40.7	0.82	0.82	0.82	0.82	0.82	82.0	22.7	11.8	27.9	123.8	0.82	0.82	0.82	0.82	0.82
	2	ave	17.3	6.0	4.3	9.1	30.1	0.75	0.75	0.75	0.75	0.75	95.1	23.0	11.3	23.4	145.1	0.75	0.75	0.75	0.75	0.75
		-σ	28.0	9.4	6.0	11.8	47.0	0.96	0.96	0.96	0.96	0.96	120.1	32.5	14.4	29.5	180.7	0.96	0.96	0.96	0.96	0.96
		+σ	12.0	4.1	2.7	6.9	22.7	0.57	0.57	0.57	0.57	0.57	72.1	16.4	7.5	19.4	119.7	0.57	0.57	0.57	0.57	0.57



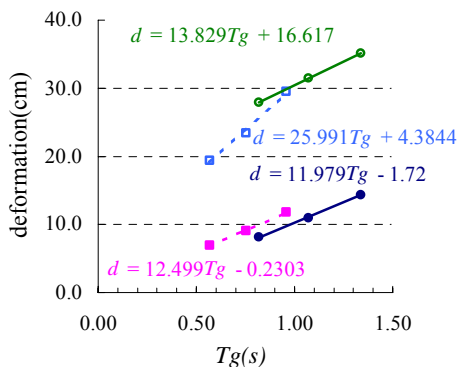
1) Dip波(no.18)



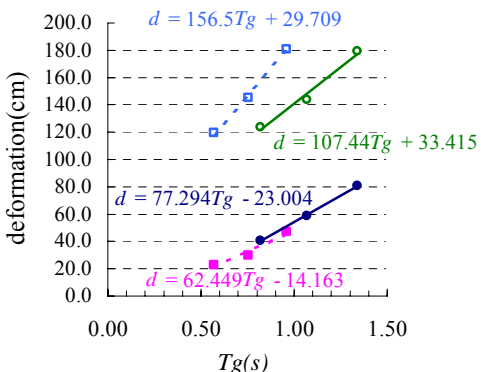
2) 八戸波(no.19)



3) 神戸波(no.20)



4) Strike波(no.22)



5) Subduction波(no.23)

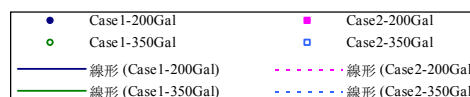
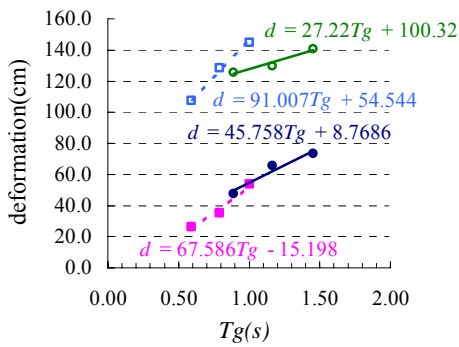


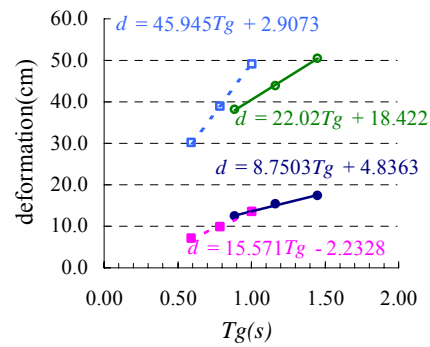
図-C.2 地盤固有周期と推定残留変形量の関係 (重力式:水深-7.5m,kh=0.15)

表-C.3 地盤固有周期と推定残留変形量（重力式：水深-11.0m,kh=0.10）

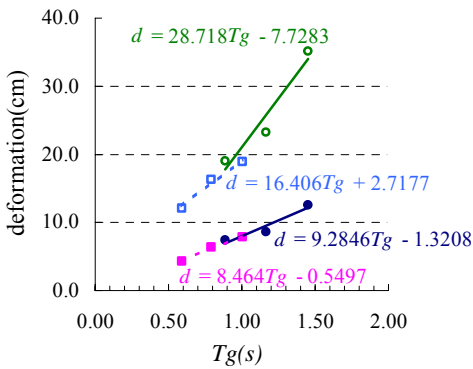
			加速度200Gal										加速度350Gal									
			変形量(cm)					Tg(s)					変形量(cm)					Tg(s)				
			no18	no19	no20	no22	no23	no18	no19	no20	no22	no23	no18	no19	no20	no22	no23	no18	no19	no20	no22	no23
-11.0	1	ave	65.8	15.4	8.6	17.8	99.8	1.16	1.16	1.16	1.16	1.16	129.8	43.8	23.3	50.6	204.8	1.16	1.16	1.16	1.16	1.16
		-σ	73.4	17.3	12.6	20.1	119.1	1.45	1.45	1.45	1.45	1.45	140.9	50.5	35.2	55.0	229.4	1.45	1.45	1.45	1.45	1.45
		+σ	47.5	12.4	7.4	13.9	76.5	0.89	0.89	0.89	0.89	0.89	125.6	38.1	19.0	49.0	190.7	0.89	0.89	0.89	0.89	0.89
	2	ave	35.5	9.8	6.4	12.6	59.4	0.79	0.79	0.79	0.79	0.79	128.5	39.0	16.3	36.3	189.5	0.79	0.79	0.79	0.79	0.79
		-σ	53.9	13.5	7.8	15.9	85.4	1.00	1.00	1.00	1.00	1.00	144.8	49.1	18.9	39.5	217.7	1.00	1.00	1.00	1.00	1.00
		+σ	26.2	7.1	4.3	10.5	47.7	0.59	0.59	0.59	0.59	0.59	107.4	30.2	12.1	31.3	171.6	0.59	0.59	0.59	0.59	0.59



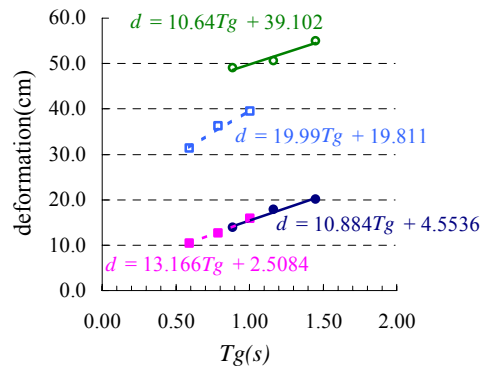
1) Dip波(no.18)



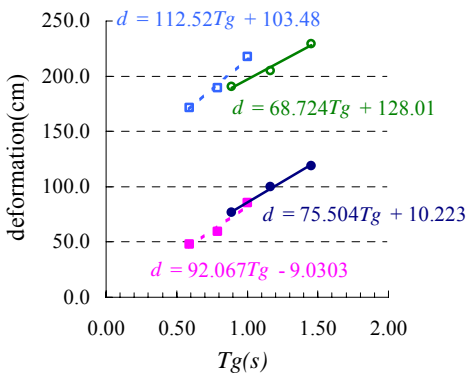
2) 八戸波(no.19)



3) 神戸波(no.20)



4) Strike波(no.22)



5) Subduction波(no.23)

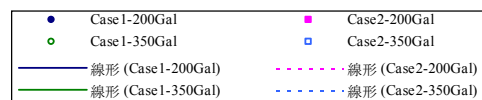
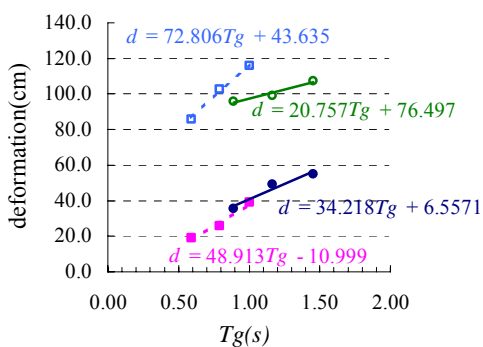


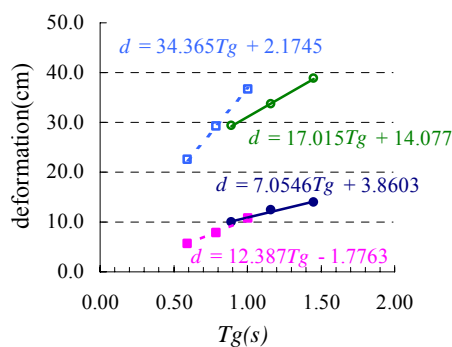
図-C.3 地盤固有周期と推定残留変形量の関係（重力式：水深--11.0m,kh=0.10）

表-C.4 地盤固有周期と推定残留変形量 (重力式: 水深-11.0m,kh=0.15)

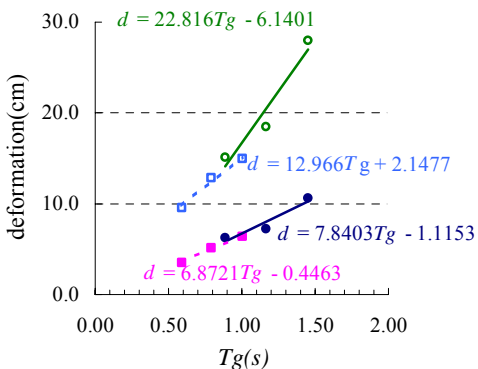
			加速度200Gal										加速度350Gal									
			変形量(cm)					Tg(s)					変形量(cm)					Tg(s)				
			no18	no19	no20	no22	no23	no18	no19	no20	no22	no23	no18	no19	no20	no22	no23	no18	no19	no20	no22	no23
-11.0	1	ave	49.2	12.4	7.3	14.5	77.3	1.16	1.16	1.16	1.16	1.16	99.0	33.7	18.5	40.4	157.4	1.16	1.16	1.16	1.16	1.16
		-σ	54.9	13.9	10.6	16.4	92.2	1.45	1.45	1.45	1.45	1.45	107.5	38.8	27.9	43.9	176.3	1.45	1.45	1.45	1.45	1.45
		+σ	35.5	10.0	6.2	11.4	59.3	0.89	0.89	0.89	0.89	0.89	95.8	29.3	15.1	39.2	146.6	0.89	0.89	0.89	0.89	0.89
	2	ave	25.7	7.8	5.2	9.8	46.6	0.79	0.79	0.79	0.79	0.79	102.8	29.2	12.9	28.1	152.7	0.79	0.79	0.79	0.79	0.79
		-σ	39.0	10.7	6.4	12.3	66.9	1.00	1.00	1.00	1.00	1.00	115.9	36.7	14.9	30.6	175.4	1.00	1.00	1.00	1.00	1.00
		+σ	19.0	5.7	3.5	8.1	37.4	0.59	0.59	0.59	0.59	0.59	85.9	22.6	9.6	24.3	138.3	0.59	0.59	0.59	0.59	0.59



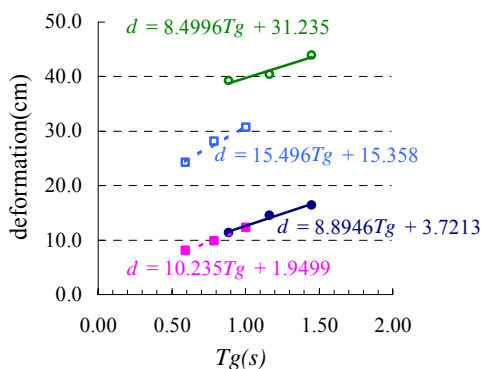
1) Dip波(no.18)



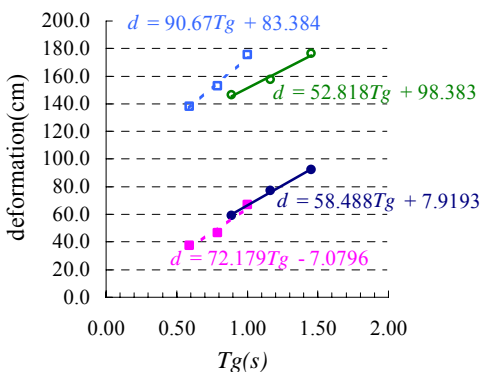
2) 八戸波(no.19)



3) 神戸波(no.20)



4) Strike波(no.22)



5) Subduction波(no.23)

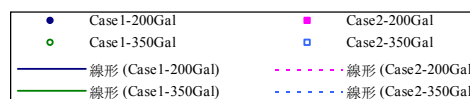
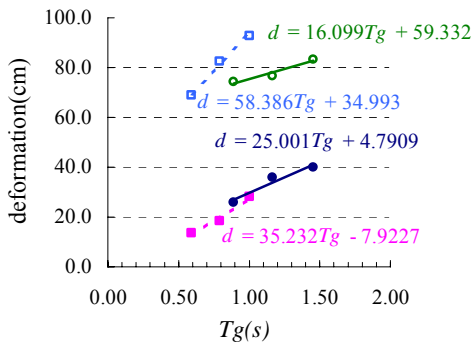


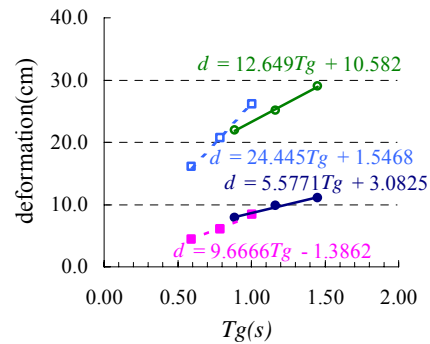
図-C.4 地盤固有周期と推定残留変形量の関係 (重力式: 水深--11.0m,kh=0.15)

表-C.5 地盤固有周期と推定残留変形量（重力式：水深-11.0m,kh=0.20）

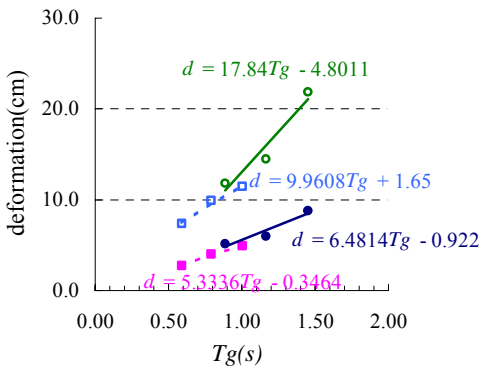
			加速度200Gal										加速度350Gal									
			変形量(cm)					Tg(s)					変形量(cm)					Tg(s)				
			no18	no19	no20	no22	no23	no18	no19	no20	no22	no23	no18	no19	no20	no22	no23	no18	no19	no20	no22	no23
-11.0	1	ave	35.9	9.8	6.0	11.7	59.0	1.16	1.16	1.16	1.16	1.16	76.8	25.2	14.5	32.5	124.2	1.16	1.16	1.16	1.16	1.16
		-σ	40.1	11.1	8.8	13.2	70.4	1.45	1.45	1.45	1.45	1.45	83.3	29.0	21.8	35.4	139.1	1.45	1.45	1.45	1.45	1.45
		+σ	26.0	7.9	5.2	9.2	45.2	0.89	0.89	0.89	0.89	0.89	74.3	21.9	11.8	31.5	115.7	0.89	0.89	0.89	0.89	0.89
	2	ave	18.5	6.1	4.0	7.5	35.2	0.79	0.79	0.79	0.79	0.79	82.4	20.8	9.9	21.5	122.9	0.79	0.79	0.79	0.79	0.79
		-σ	28.1	8.4	4.9	9.4	50.6	1.00	1.00	1.00	1.00	1.00	92.9	26.1	11.5	23.5	141.2	1.00	1.00	1.00	1.00	1.00
		+σ	13.7	4.4	2.7	6.2	28.2	0.59	0.59	0.59	0.59	0.59	68.9	16.1	7.4	18.6	111.3	0.59	0.59	0.59	0.59	0.59



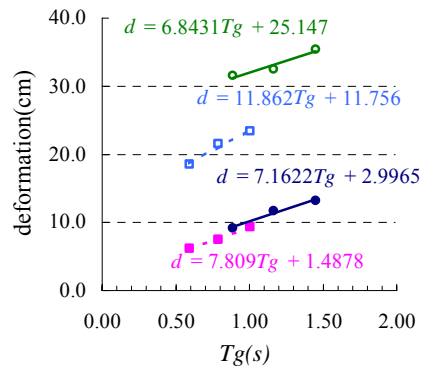
1) Dip波(no.18)



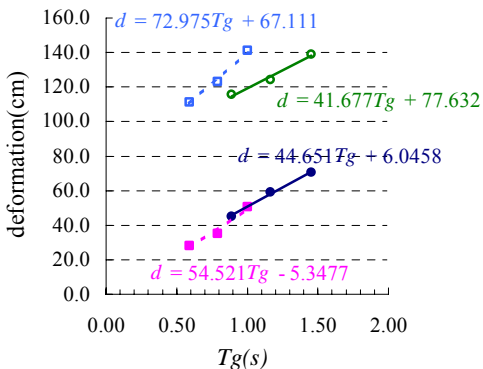
2) 八戸波(no.19)



3) 神戸波(no.20)



4) Strike波(no.22)



5) Subduction波(no.23)

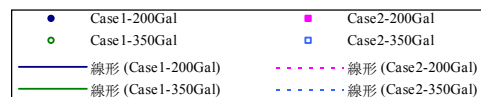
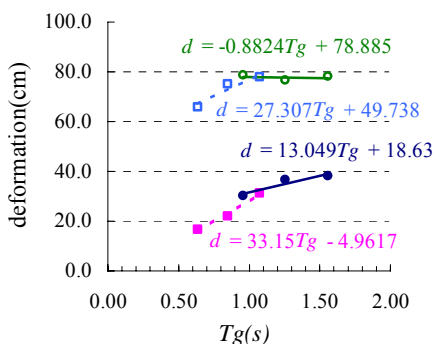


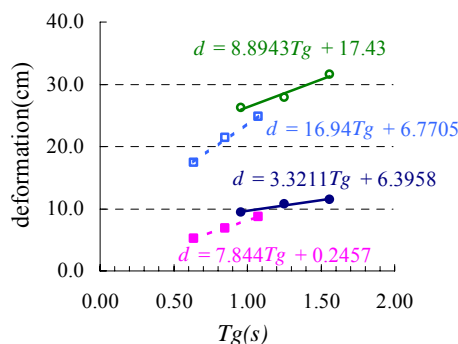
図-C.5 地盤固有周期と推定残留変形量の関係（重力式：水深-11.0m,kh=0.20）

表-C.6 地盤固有周期と推定残留変形量 (重力式: 水深-14.5m, kh=0.20)

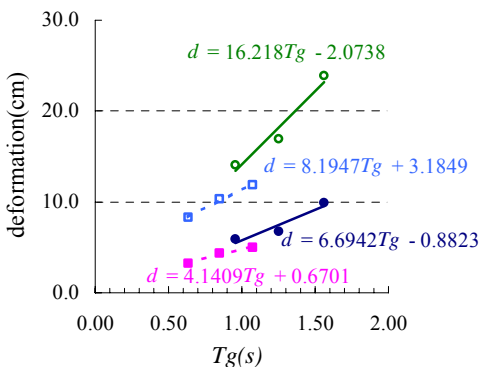
			加速度200Gal										加速度350Gal									
			変形量(cm)					Tg(s)					変形量(cm)					Tg(s)				
			no18	no19	no20	no22	no23	no18	no19	no20	no22	no23	no18	no19	no20	no22	no23	no18	no19	no20	no22	no23
-14.5	1	ave	36.7	10.8	6.8	13.9	63.8	1.25	1.25	1.25	1.25	76.6	27.9	16.9	37.7	125.2	1.25	1.25	1.25	1.25	1.25	
		-σ	38.1	11.4	9.9	14.1	68.6	1.56	1.56	1.56	1.56	78.1	31.6	23.9	40.5	130.8	1.56	1.56	1.56	1.56	1.56	
		+σ	30.2	9.4	5.9	11.8	54.4	0.96	0.96	0.96	0.96	78.6	26.2	14.1	39.5	124.7	0.96	0.96	0.96	0.96	0.96	
	2	ave	22.0	6.9	4.4	7.8	40.0	0.85	0.85	0.85	0.85	75.0	21.4	10.3	23.1	118.2	0.85	0.85	0.85	0.85	0.85	
		-σ	31.2	8.7	5.0	9.4	53.6	1.07	1.07	1.07	1.07	78.0	24.8	11.9	23.6	128.9	1.07	1.07	1.07	1.07	1.07	
		+σ	16.7	5.2	3.2	6.7	33.0	0.64	0.64	0.64	0.64	66.0	17.4	8.3	21.2	112.7	0.64	0.64	0.64	0.64	0.64	



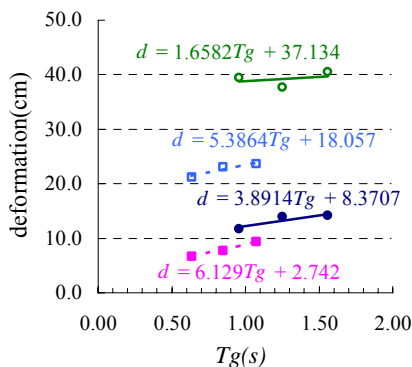
1) Dip波(no.18)



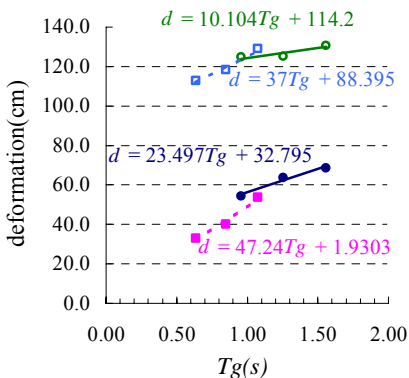
2) 八戸波(no.19)



3) 神戸波(no.20)



4) Strike波(no.22)



5) Subduction波(no.23)

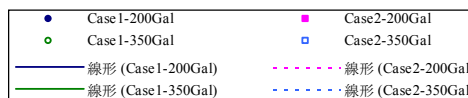
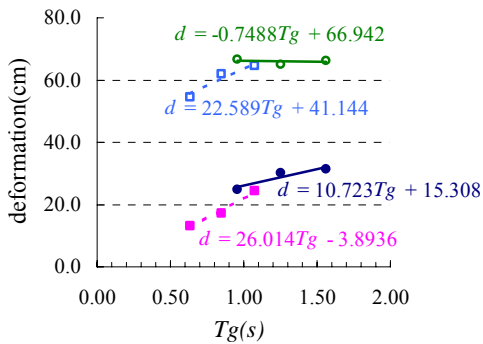


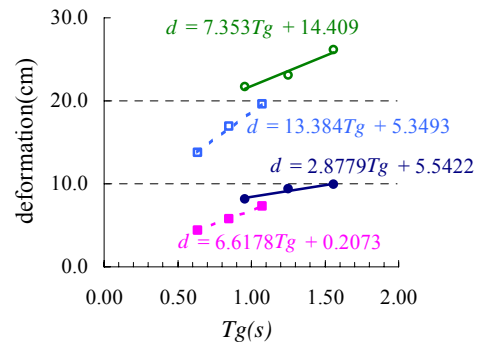
図-C.6 地盤固有周期と推定残留変形量の関係 (重力式: 水深-14.5m, kh=0.20)

表-C.7 地盤固有周期と推定残留変形量（重力式：水深-14.5m,kh=0.25）

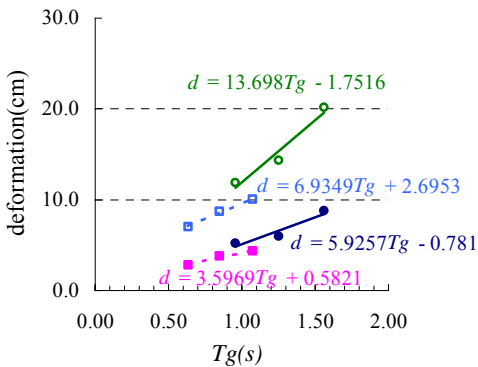
			加速度200Gal										加速度350Gal									
			変形量(cm)					Tg(s)					変形量(cm)					Tg(s)				
			no18	no19	no20	no22	no23	no18	no19	no20	no22	no23	no18	no19	no20	no22	no23	no18	no19	no20	no22	no23
-14.5	1	ave	30.1	9.4	6.0	12.2	53.4	1.25	1.25	1.25	1.25	1.25	65.0	23.1	14.3	32.3	109.0	1.25	1.25	1.25	1.25	1.25
		-σ	31.3	9.9	8.8	12.4	57.4	1.56	1.56	1.56	1.56	1.56	66.3	26.1	20.2	34.7	113.8	1.56	1.56	1.56	1.56	1.56
		+σ	24.8	8.2	5.2	10.3	45.5	0.96	0.96	0.96	0.96	0.96	66.7	21.7	11.9	33.9	108.6	0.96	0.96	0.96	0.96	0.96
	2	ave	17.3	5.8	3.8	6.7	31.7	0.85	0.85	0.85	0.85	0.85	62.1	16.9	8.7	19.3	100.9	0.85	0.85	0.85	0.85	0.85
		-σ	24.5	7.3	4.4	8.2	42.6	1.07	1.07	1.07	1.07	1.07	64.6	19.6	10.1	19.7	110.0	1.07	1.07	1.07	1.07	1.07
		+σ	13.1	4.4	2.8	5.8	26.2	0.64	0.64	0.64	0.64	0.64	54.6	13.7	7.0	17.7	96.2	0.64	0.64	0.64	0.64	0.64



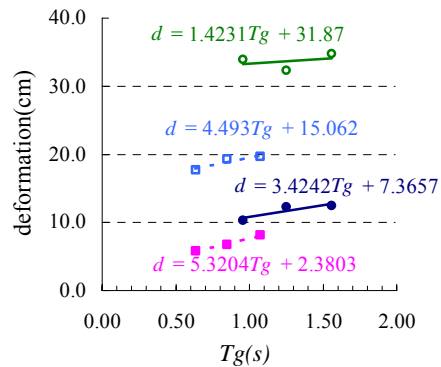
1) Dip波(no.18)



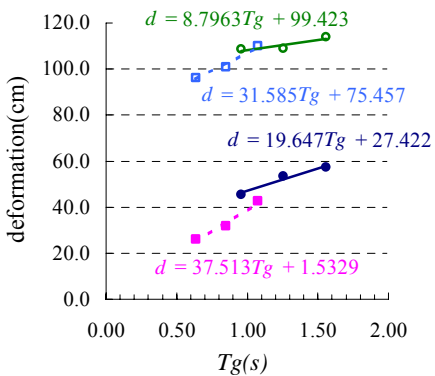
2) 八戸波(no.19)



3) 神戸波(no.20)



4) Strike波(no.22)



5) Subduction波(no.23)

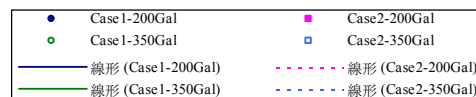
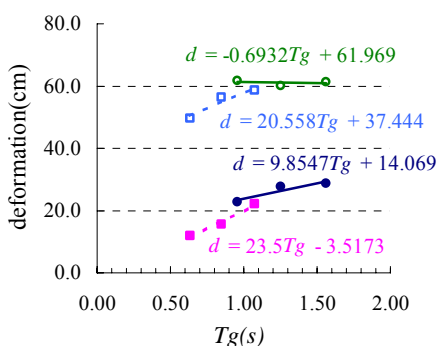


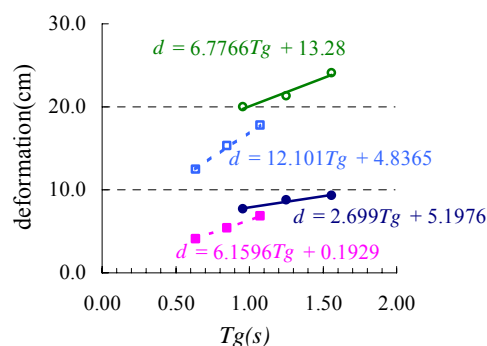
図-C.7 地盤固有周期と推定残留変形量の関係（重力式：水深-14.5m,kh=0.25）

表-C.8 地盤固有周期と推定残留変形量 (重力式: 水深-14.5m,kh=0.27)

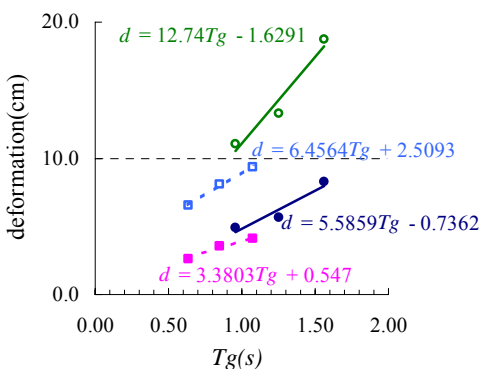
			加速度200Gal										加速度350Gal									
			変形量(cm)					Tg(s)					変形量(cm)					Tg(s)				
			no18	no19	no20	no22	no23	no18	no19	no20	no22	no23	no18	no19	no20	no22	no23	no18	no19	no20	no22	no23
-14.5	1	ave	27.7	8.8	5.7	11.5	49.2	1.25	1.25	1.25	1.25	1.25	60.2	21.3	13.3	30.2	102.4	1.25	1.25	1.25	1.25	1.25
		-σ	28.8	9.3	8.3	11.7	52.9	1.56	1.56	1.56	1.56	1.56	61.3	24.1	18.7	32.5	107.0	1.56	1.56	1.56	1.56	1.56
		+σ	22.8	7.7	4.9	9.7	41.9	0.96	0.96	0.96	0.96	0.96	61.8	20.0	11.1	31.7	102.0	0.96	0.96	0.96	0.96	0.96
	2	ave	15.6	5.4	3.6	6.4	28.6	0.85	0.85	0.85	0.85	0.85	56.5	15.3	8.1	17.8	94.1	0.85	0.85	0.85	0.85	0.85
		-σ	22.1	6.8	4.1	7.7	38.3	1.07	1.07	1.07	1.07	1.07	58.8	17.7	9.4	18.2	102.6	1.07	1.07	1.07	1.07	1.07
		+σ	11.8	4.1	2.6	5.5	23.5	0.64	0.64	0.64	0.64	0.64	49.7	12.4	6.5	16.4	89.7	0.64	0.64	0.64	0.64	0.64



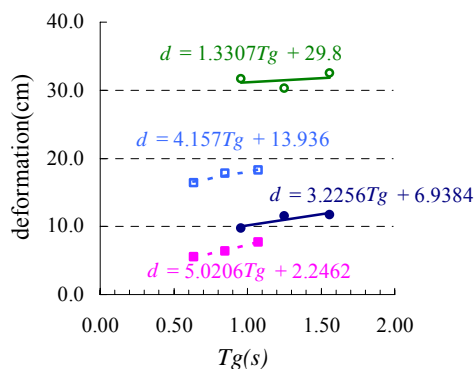
1) Dip波(no.18)



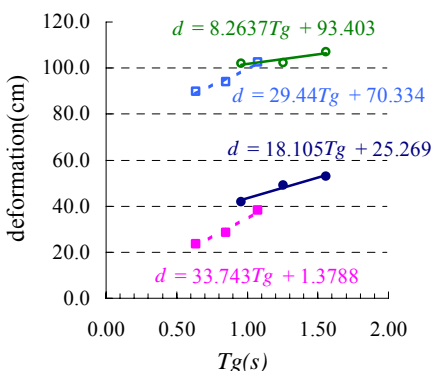
2) 八戸波(no.19)



3) 神戸波(no.20)



4) Strike波(no.22)



5) Subduction波(no.23)

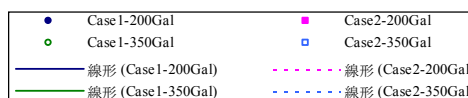
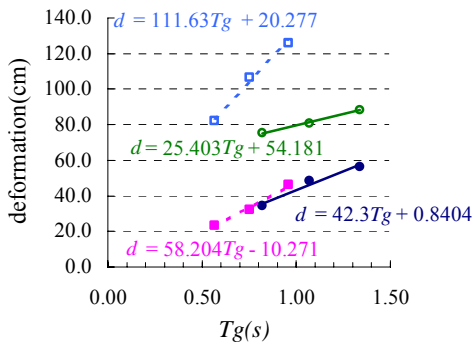


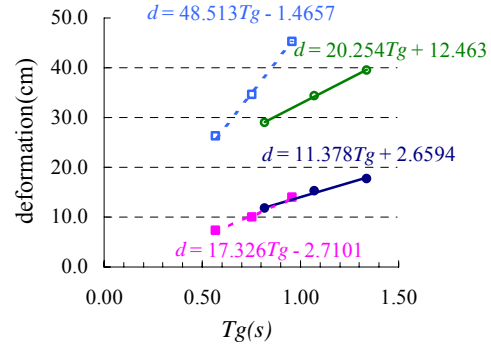
図-C.8 地盤固有周期と推定残留変形量の関係 (重力式: 水深-14.5m,kh=0.27)

表-C.9 地盤固有周期と推定残留変形量 (控え直杭式:水深-7.5m,kh=0.10)

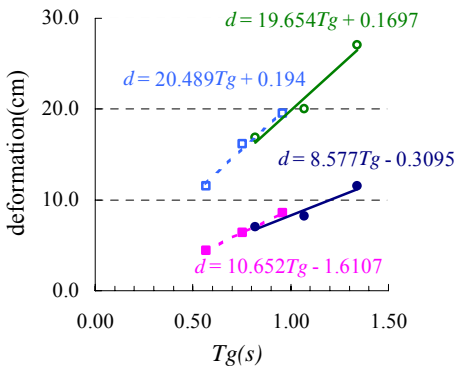
			加速度200Gal										加速度350Gal									
			変形量(cm)					Tg(s)					変形量(cm)					Tg(s)				
			no18	no19	no20	no22	no23	no18	no19	no20	no22	no23	no18	no19	no20	no22	no23	no18	no19	no20	no22	no23
-7.5	1	ave	48.3	15.3	8.2	15.8	76.1	1.07	1.07	1.07	1.07	1.07	80.8	34.3	20.0	46.0	144.5	1.07	1.07	1.07	1.07	1.07
		-σ	56.4	17.7	11.5	18.6	95.9	1.34	1.34	1.34	1.34	1.34	88.4	39.5	27.1	47.5	168.5	1.34	1.34	1.34	1.34	1.34
		+σ	34.3	11.7	7.1	11.5	57.3	0.82	0.82	0.82	0.82	0.82	75.3	28.9	16.9	42.9	130.8	0.82	0.82	0.82	0.82	0.82
	2	ave	32.1	10.0	6.4	13.2	47.2	0.75	0.75	0.75	0.75	0.75	106.6	34.6	16.2	33.2	174.1	0.75	0.75	0.75	0.75	0.75
		-σ	46.1	14.0	8.6	17.2	67.3	0.96	0.96	0.96	0.96	0.96	126.1	45.2	19.6	42.5	205.2	0.96	0.96	0.96	0.96	0.96
		+σ	23.5	7.3	4.4	10.4	38.3	0.57	0.57	0.57	0.57	0.57	82.3	26.3	11.5	26.7	148.1	0.57	0.57	0.57	0.57	0.57



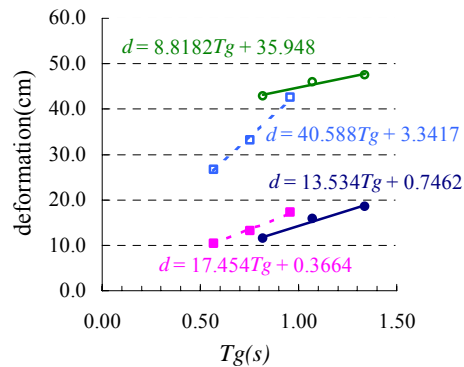
1) Dip波(no.18)



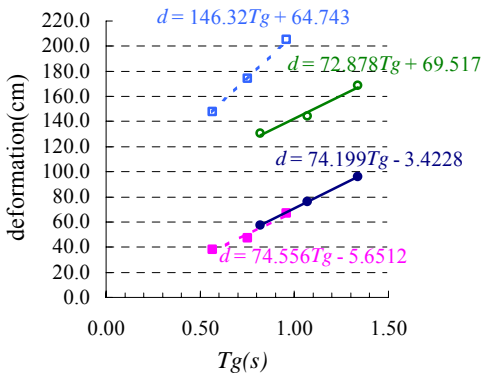
2) 八戸波(no.19)



3) 神戸波(no.20)



4) Strike波(no.22)



5) Subduction波(no.23)

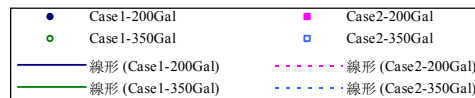


図-C.9 地盤固有周期と推定残留変形量の関係 (控え直杭式:水深-7.5m,kh=0.10)

表-C.10 地盤固有周期と推定残留変形量 (控え直杭式：水深-7.5m,kh=0.15)

			加速度200Gal										加速度350Gal									
			変形量(cm)					Tg(s)					変形量(cm)					Tg(s)				
			no18	no19	no20	no22	no23	no18	no19	no20	no22	no23	no18	no19	no20	no22	no23	no18	no19	no20	no22	no23
-7.5	1	ave	46.7	13.1	7.2	13.8	71.2	1.07	1.07	1.07	1.07	1.07	86.9	31.3	17.4	38.1	146.1	1.07	1.07	1.07	1.07	1.07
		-σ	54.6	15.1	10.1	16.2	89.8	1.34	1.34	1.34	1.34	1.34	95.1	35.9	23.6	39.3	170.4	1.34	1.34	1.34	1.34	1.34
		+σ	33.2	10.1	6.2	10.0	53.7	0.82	0.82	0.82	0.82	0.82	80.9	26.3	14.7	35.5	132.2	0.82	0.82	0.82	0.82	0.82
	2	ave	26.6	9.1	5.9	12.0	40.0	0.75	0.75	0.75	0.75	0.75	96.9	31.5	14.4	30.6	143.1	0.75	0.75	0.75	0.75	0.75
		-σ	38.1	12.7	8.0	15.7	57.1	0.96	0.96	0.96	0.96	0.96	114.6	41.1	17.4	39.2	168.7	0.96	0.96	0.96	0.96	0.96
		+σ	19.4	6.6	4.1	9.5	32.5	0.57	0.57	0.57	0.57	0.57	74.8	23.9	10.2	24.6	121.7	0.57	0.57	0.57	0.57	0.57

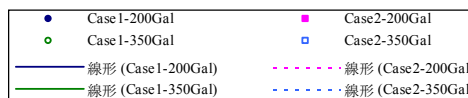
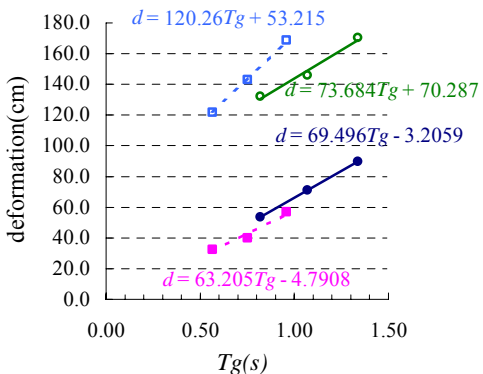
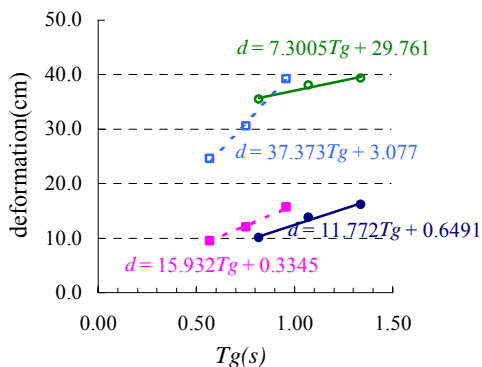
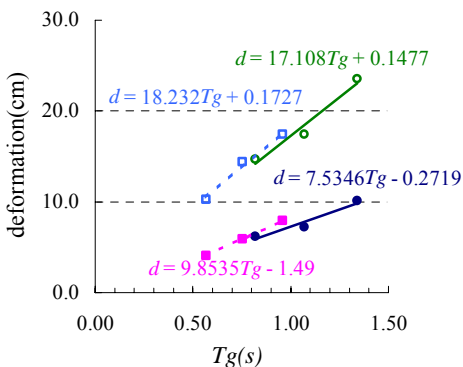
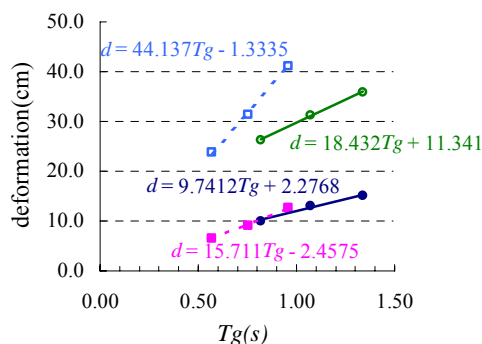
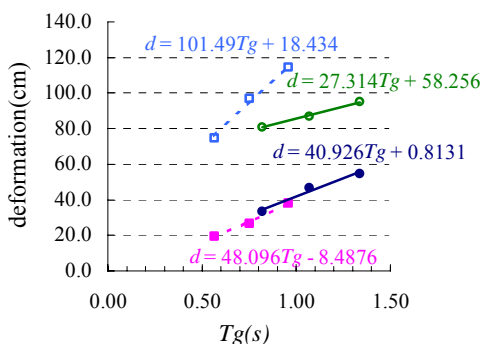
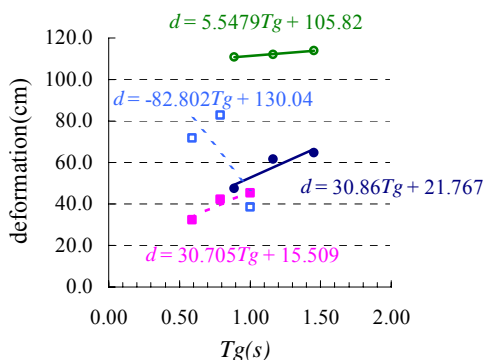


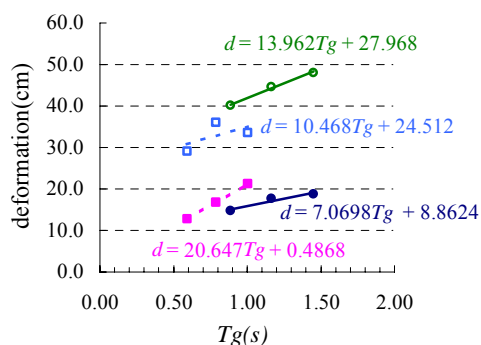
図-C.10 地盤固有周期と推定残留変形量の関係 (控え直杭式：水深-7.5m,kh=0.15)

表-C.11 地盤固有周期と推定残留変形量 (控え直杭式: 水深-11.0m,kh=0.10)

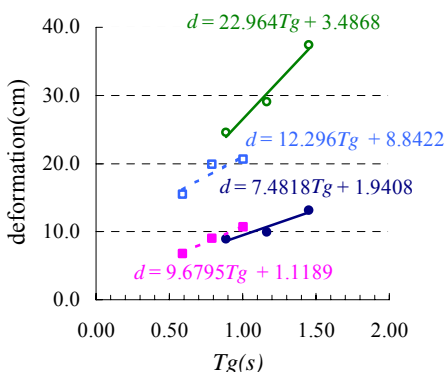
			加速度200Gal										加速度350Gal									
			変形量(cm)					Tg(s)					変形量(cm)					Tg(s)				
			no18	no19	no20	no22	no23	no18	no19	no20	no22	no23	no18	no19	no20	no22	no23	no18	no19	no20	no22	no23
-11.0	1	ave	61.4	17.7	10.0	21.2	94.9	1.16	1.16	1.16	1.16	1.16	112.1	44.6	29.1	60.2	172.4	1.16	1.16	1.16	1.16	1.16
		-σ	64.8	18.8	13.1	22.2	106.4	1.45	1.45	1.45	1.45	1.45	114.0	48.0	37.4	59.6	184.6	1.45	1.45	1.45	1.45	1.45
		+σ	47.3	14.8	8.9	16.4	76.6	0.89	0.89	0.89	0.89	0.89	110.8	40.2	24.5	60.0	165.4	0.89	0.89	0.89	0.89	0.89
	2	ave	42.2	16.7	9.0	15.2	62.7	0.79	0.79	0.79	0.79	0.79	82.6	36.0	19.8	41.9	140.7	0.79	0.79	0.79	0.79	0.79
		-σ	45.1	21.2	10.7	17.6	60.7	1.00	1.00	1.00	1.00	1.00	38.3	33.5	20.6	26.1	91.2	1.00	1.00	1.00	1.00	1.00
		+σ	32.4	12.7	6.7	12.7	52.5	0.59	0.59	0.59	0.59	0.59	71.7	29.0	15.5	34.1	129.3	0.59	0.59	0.59	0.59	0.59



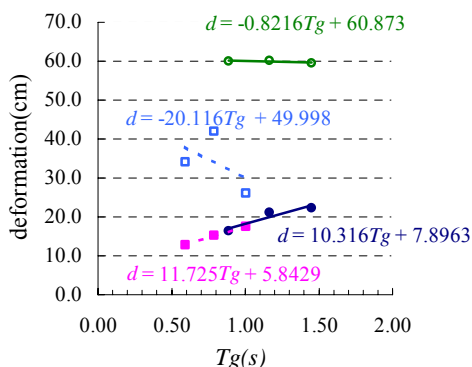
1) Dip波(no.18)



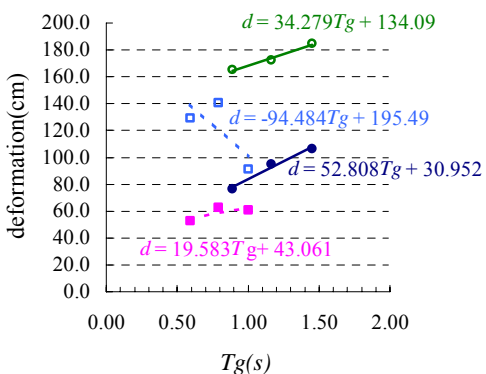
2) 八戸波(no.19)



3) 神戸波(no.20)



4) Strike波(no.22)



5) Subduction波(no.23)

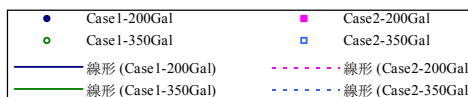
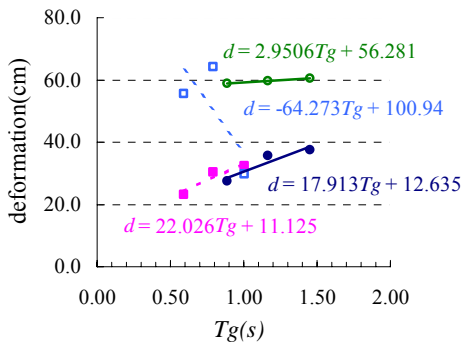


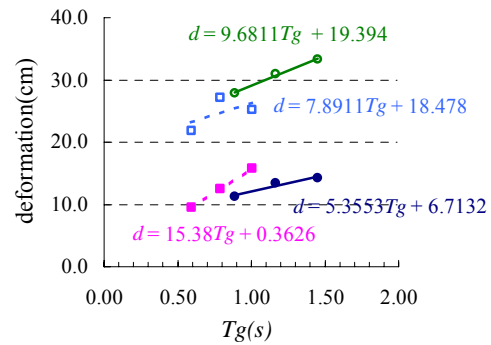
図-C.11 地盤固有周期と推定残留変形量の関係 (控え直杭式: 水深--11.0m,kh=0.10)

表-C.12 地盤固有周期と推定残留変形量 (控え直杭式: 水深-11.0m,kh=0.15)

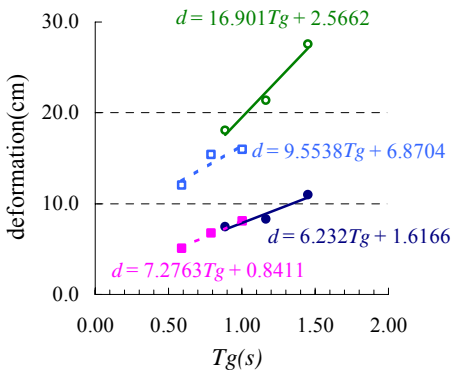
			加速度200Gal										加速度350Gal									
			変形量(cm)					Tg(s)					変形量(cm)					Tg(s)				
			no18	no19	no20	no22	no23	no18	no19	no20	no22	no23	no18	no19	no20	no22	no23	no18	no19	no20	no22	no23
-11.0	1	ave	35.6	13.4	8.3	16.0	62.1	1.16	1.16	1.16	1.16	1.16	59.6	30.9	21.4	42.1	106.7	1.16	1.16	1.16	1.16	1.16
		-σ	37.6	14.3	10.9	16.8	69.7	1.45	1.45	1.45	1.45	1.45	60.6	33.3	27.5	41.6	114.3	1.45	1.45	1.45	1.45	1.45
		+σ	27.5	11.2	7.4	12.4	50.2	0.89	0.89	0.89	0.89	0.89	59.0	27.9	18.0	42.0	102.4	0.89	0.89	0.89	0.89	0.89
	2	ave	30.3	12.5	6.8	11.1	48.2	0.79	0.79	0.79	0.79	0.79	64.1	27.1	15.4	33.5	123.8	0.79	0.79	0.79	0.79	0.79
		-σ	32.4	15.8	8.1	12.9	46.6	1.00	1.00	1.00	1.00	1.00	29.7	25.2	16.0	20.9	80.2	1.00	1.00	1.00	1.00	1.00
		+σ	23.2	9.5	5.1	9.4	40.3	0.59	0.59	0.59	0.59	0.59	55.7	21.9	12.0	27.2	113.7	0.59	0.59	0.59	0.59	0.59



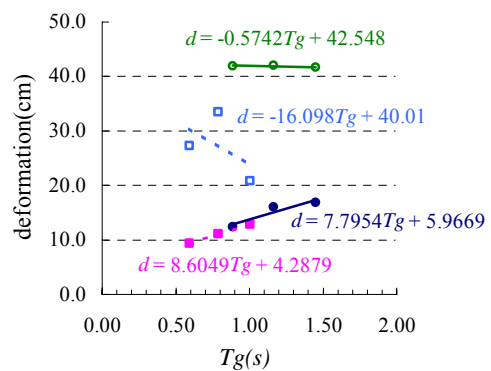
1) Dip波(no.18)



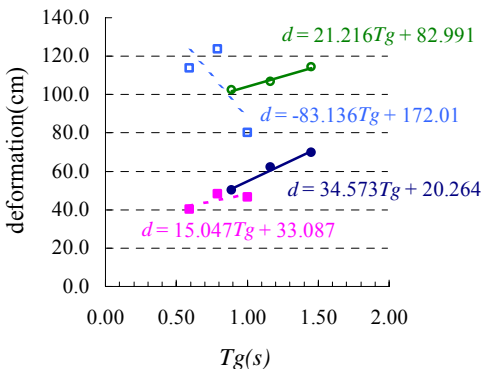
2) 八戸波(no.19)



3) 神戸波(no.20)



4) Strike波(no.22)



5) Subduction波(no.23)

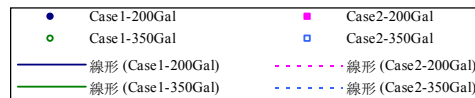
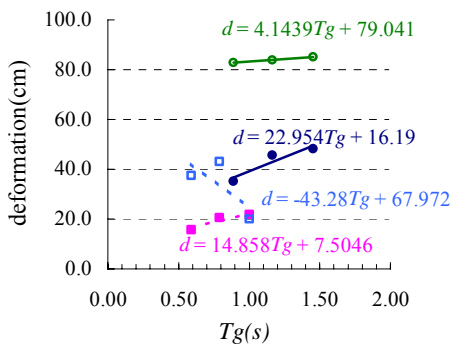


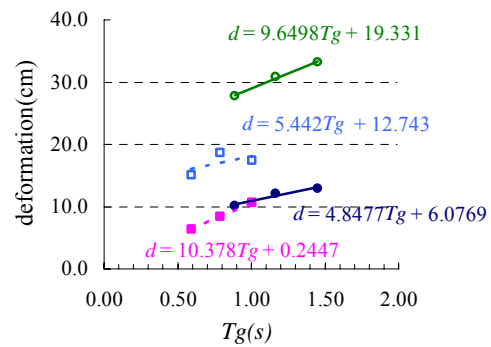
図-C.12 地盤固有周期と推定残留変形量の関係 (控え直杭式: 水深--11.0m,kh=0.15)

表-C.13 地盤固有周期と推定残留変形量 (控え直杭式: 水深-11.0m,kh=0.20)

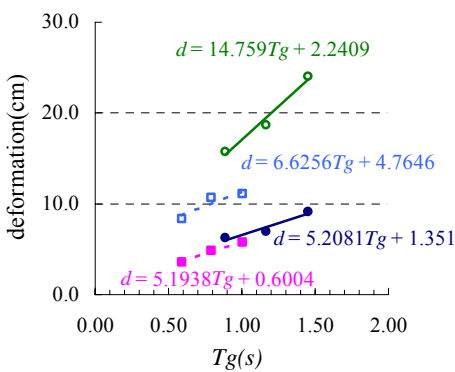
			加速度200Gal										加速度350Gal									
			変形量(cm)					Tg(s)					変形量(cm)					Tg(s)				
			no18	no19	no20	no22	no23	no18	no19	no20	no22	no23	no18	no19	no20	no22	no23	no18	no19	no20	no22	no23
-11.0	1	ave	45.7	12.1	6.9	14.8	73.6	1.16	1.16	1.16	1.16	1.16	83.7	30.8	18.7	45.4	134.4	1.16	1.16	1.16	1.16	1.16
		-σ	48.2	12.9	9.1	15.5	82.5	1.45	1.45	1.45	1.45	1.45	85.1	33.2	24.0	45.0	143.9	1.45	1.45	1.45	1.45	1.45
		+σ	35.2	10.2	6.2	11.4	59.4	0.89	0.89	0.89	0.89	0.89	82.8	27.8	15.7	45.3	128.9	0.89	0.89	0.89	0.89	0.89
	2	ave	20.4	8.4	4.8	8.0	33.9	0.79	0.79	0.79	0.79	0.79	43.2	18.7	10.7	20.8	85.7	0.79	0.79	0.79	0.79	0.79
		-σ	21.8	10.7	5.8	9.3	32.9	1.00	1.00	1.00	1.00	1.00	20.0	17.4	11.1	13.0	55.5	1.00	1.00	1.00	1.00	1.00
		+σ	15.7	6.4	3.6	6.8	28.4	0.59	0.59	0.59	0.59	0.59	37.5	15.1	8.3	16.9	78.7	0.59	0.59	0.59	0.59	0.59



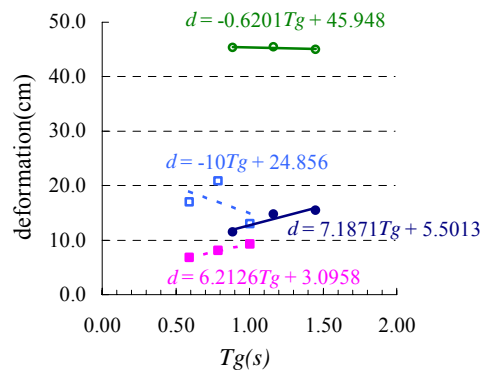
1) Dip波(no.18)



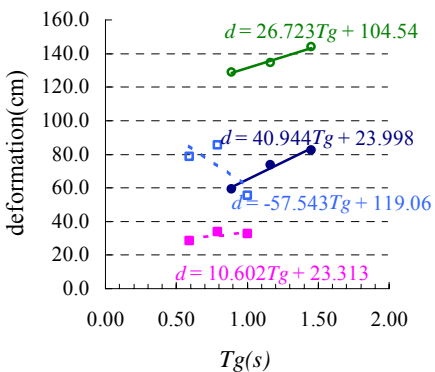
2) 八戸波(no.19)



3) 神戸波(no.20)



4) Strike波(no.22)



5) Subduction波(no.23)

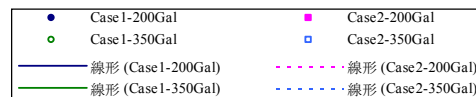
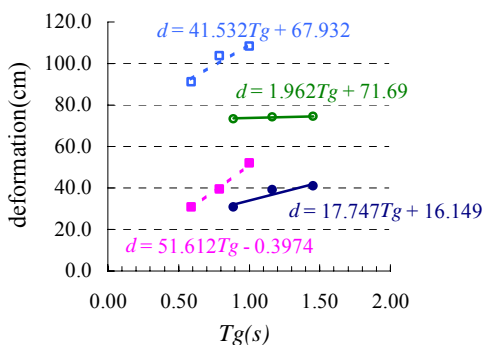


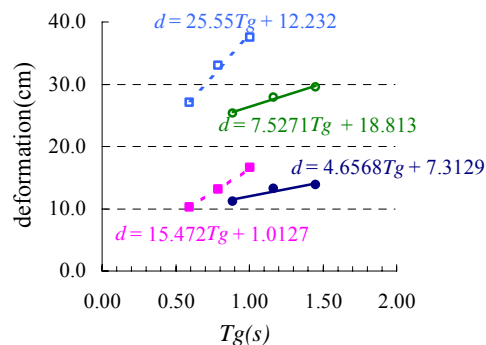
図-C.13 地盤固有周期と推定残留変形量の関係 (控え直杭式: 水深-11.0m,kh=0.20)

表-C.14 地盤固有周期と推定残留変形量 (控え組杭式: 水深-11.0m,kh=0.15)

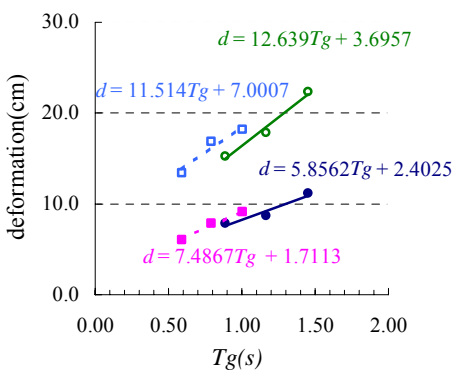
			加速度200Gal										加速度350Gal									
			変形量(cm)					Tg(s)					変形量(cm)					Tg(s)				
			no18	no19	no20	no22	no23	no18	no19	no20	no22	no23	no18	no19	no20	no22	no23	no18	no19	no20	no22	no23
-11.0	1	ave	39.2	13.2	8.7	16.0	62.6	1.16	1.16	1.16	1.16	1.16	74.1	27.9	17.8	37.6	124.0	1.16	1.16	1.16	1.16	1.16
		-σ	40.8	13.9	11.2	16.7	69.0	1.45	1.45	1.45	1.45	1.45	74.5	29.6	22.3	36.9	131.0	1.45	1.45	1.45	1.45	1.45
		+σ	30.7	11.2	7.9	12.7	51.4	0.89	0.89	0.89	0.89	0.89	73.4	25.3	15.2	37.5	119.5	0.89	0.89	0.89	0.89	0.89
	2	ave	39.3	13.2	7.9	13.3	59.0	0.79	0.79	0.79	0.79	0.79	103.7	33.0	16.9	36.3	172.3	0.79	0.79	0.79	0.79	0.79
		-σ	51.9	16.6	9.1	16.5	74.4	1.00	1.00	1.00	1.00	1.00	108.2	37.6	18.2	37.4	164.2	1.00	1.00	1.00	1.00	1.00
		+σ	30.7	10.2	6.0	11.3	50.1	0.59	0.59	0.59	0.59	0.59	91.0	27.1	13.4	29.9	159.5	0.59	0.59	0.59	0.59	0.59



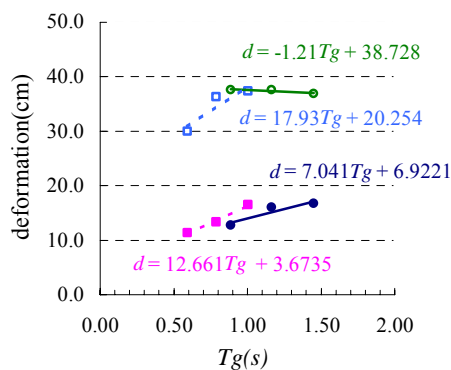
1) Dip波(no.18)



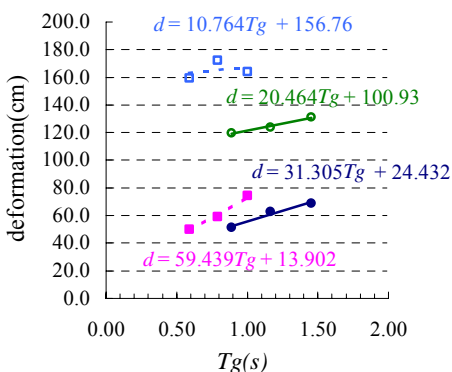
2) 八戸波(no.19)



3) 神戸波(no.20)



4) Strike波(no.22)



5) Subduction波(no.23)

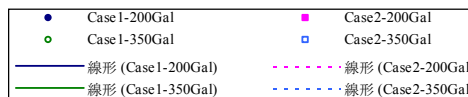
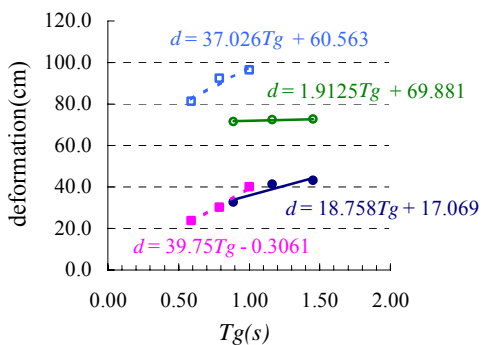


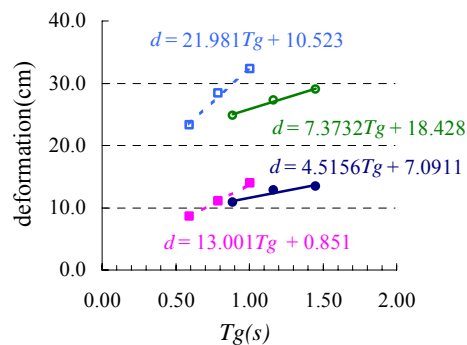
図-C.14 地盤固有周期と推定残留変形量の関係 (控え組杭式: 水深--11.0m,kh=0.15)

表-C.15 地盤固有周期と推定残留変形量 (控え組杭式:水深-11.0m,kh=0.20)

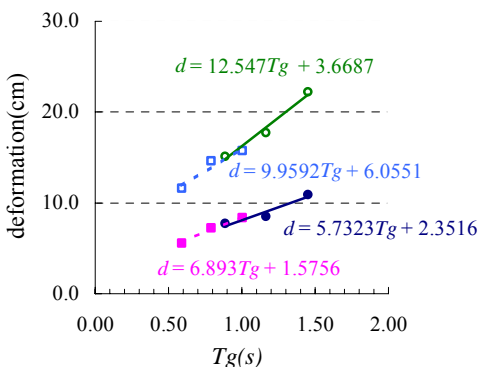
			加速度200Gal										加速度350Gal									
			変形量(cm)					Tg(s)					変形量(cm)					Tg(s)				
			no18	no19	no20	no22	no23	no18	no19	no20	no22	no23	no18	no19	no20	no22	no23	no18	no19	no20	no22	no23
-11.0	1	ave	41.4	12.8	8.5	15.5	61.2	1.16	1.16	1.16	1.16	1.16	72.2	27.3	17.7	36.6	116.8	1.16	1.16	1.16	1.16	1.16
		-σ	43.1	13.4	10.9	16.1	67.5	1.45	1.45	1.45	1.45	1.45	72.6	29.0	22.2	35.9	123.4	1.45	1.45	1.45	1.45	1.45
		+σ	32.5	10.9	7.7	12.3	50.2	0.89	0.89	0.89	0.89	0.89	71.5	24.8	15.1	36.6	112.6	0.89	0.89	0.89	0.89	0.89
	2	ave	30.3	11.1	7.2	12.0	45.6	0.79	0.79	0.79	0.79	0.79	92.5	28.4	14.6	30.1	140.2	0.79	0.79	0.79	0.79	0.79
		-σ	40.0	13.9	8.4	14.9	57.6	1.00	1.00	1.00	1.00	1.00	96.4	32.3	15.7	31.0	133.6	1.00	1.00	1.00	1.00	1.00
		+σ	23.7	8.6	5.5	10.2	38.7	0.59	0.59	0.59	0.59	0.59	81.1	23.3	11.6	24.8	129.8	0.59	0.59	0.59	0.59	0.59



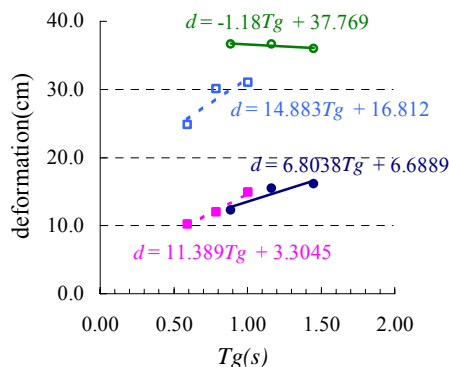
1) Dip波(no.18)



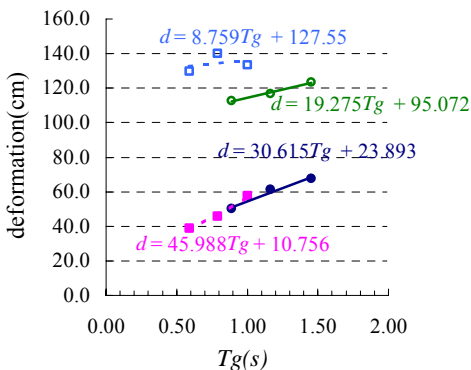
2) 八戸波(no.19)



3) 神戸波(no.20)



4) Strike波(no.22)



5) Subduction波(no.23)

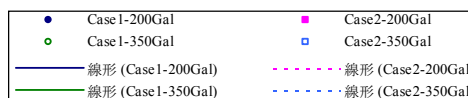


図-C.15 地盤固有周期と推定残留変形量の関係 (控え組杭式:水深-11.0m,kh=0.20)

表-C.16 地盤固有周期と推定残留変形量 (控え組杭式: 水深-14.5m,kh=0.20)

			加速度200Gal										加速度350Gal									
			変形量(cm)					Tg(s)					変形量(cm)					Tg(s)				
			no18	no19	no20	no22	no23	no18	no19	no20	no22	no23	no18	no19	no20	no22	no23	no18	no19	no20	no22	no23
-14.5	1	ave	41.9	14.9	10.4	19.9	68.9	1.25	1.25	1.25	1.25	1.25	75.6	33.8	24.9	47.5	124.3	1.25	1.25	1.25	1.25	1.25
		-σ	41.4	15.0	13.4	19.3	71.5	1.56	1.56	1.56	1.56	1.56	73.9	35.9	30.8	47.4	124.7	1.56	1.56	1.56	1.56	1.56
		+σ	35.2	13.4	9.2	17.0	60.3	0.96	0.96	0.96	0.96	0.96	76.6	31.4	21.5	49.0	121.3	0.96	0.96	0.96	0.96	0.96
	2	ave	42.3	14.0	8.3	14.0	61.9	0.85	0.85	0.85	0.85	0.85	94.4	30.1	17.2	37.3	156.2	0.85	0.85	0.85	0.85	0.85
		-σ	50.3	16.9	9.6	16.3	69.7	1.07	1.07	1.07	1.07	1.07	99.2	34.8	19.3	39.4	165.7	1.07	1.07	1.07	1.07	1.07
		+σ	33.4	11.1	6.5	12.0	52.3	0.64	0.64	0.64	0.64	0.64	84.2	25.1	14.4	32.7	152.3	0.64	0.64	0.64	0.64	0.64

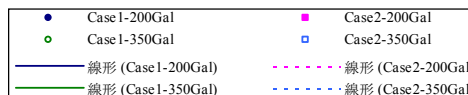
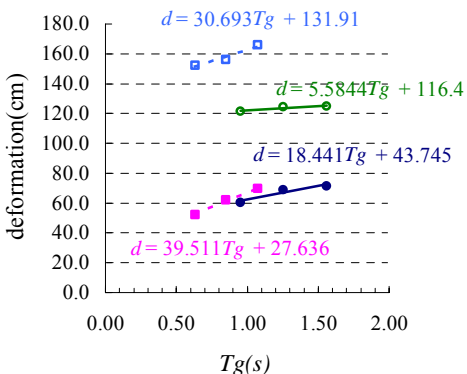
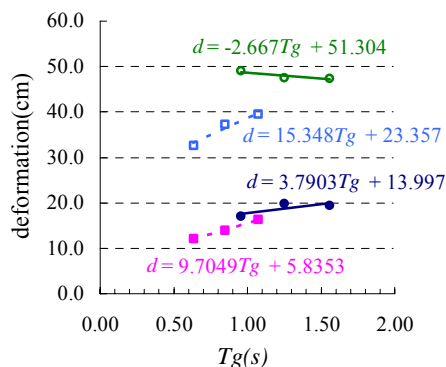
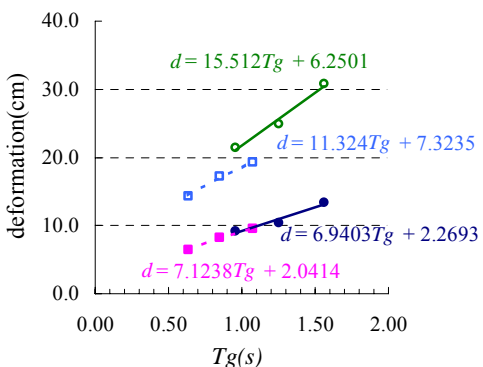
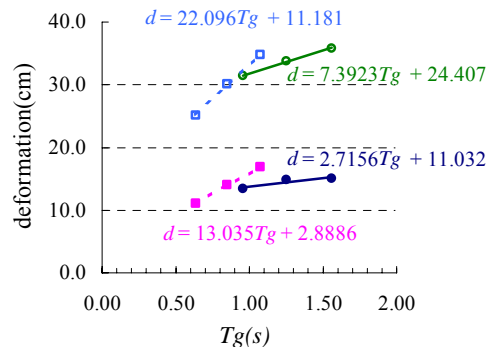
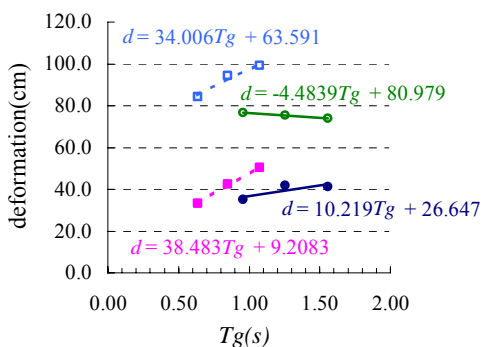
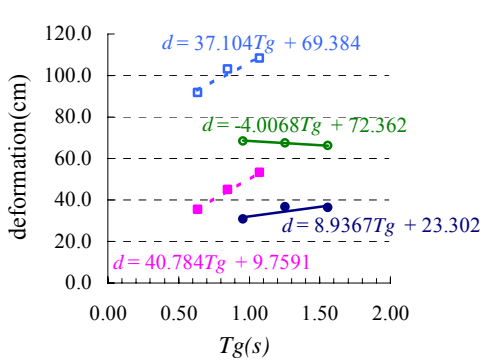


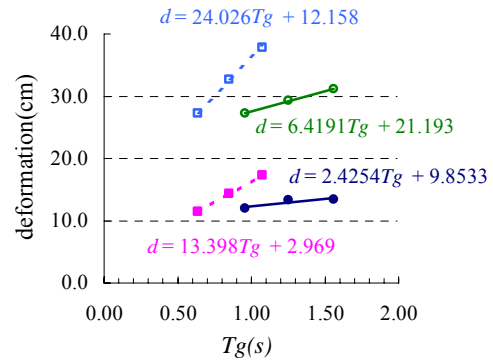
図-C.16 地盤固有周期と推定残留変形量の関係 (控え組杭式: 水深-14.5m,kh=0.20)

表-C.17 地盤固有周期と推定残留変形量 (控え組杭式:水深-14.5m,kh=0.25)

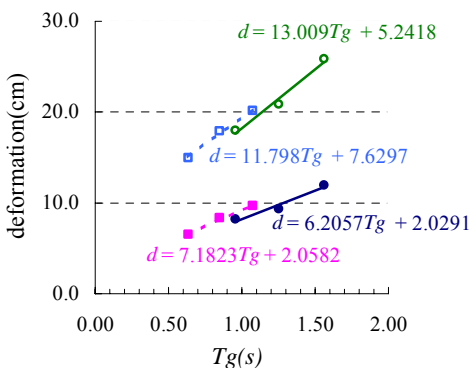
			加速度200Gal										加速度350Gal									
			変形量(cm)					Tg(s)					変形量(cm)					Tg(s)				
			no18	no19	no20	no22	no23	no18	no19	no20	no22	no23	no18	no19	no20	no22	no23	no18	no19	no20	no22	no23
-14.5	1	ave	36.7	13.3	9.3	17.6	61.5	1.25	1.25	1.25	1.25	1.25	67.5	29.4	20.9	40.6	110.5	1.25	1.25	1.25	1.25	1.25
		-σ	36.2	13.4	11.9	17.2	63.9	1.56	1.56	1.56	1.56	1.56	66.0	31.1	25.8	40.5	110.8	1.56	1.56	1.56	1.56	1.56
		+σ	30.7	12.0	8.2	15.1	53.9	0.96	0.96	0.96	0.96	0.96	68.4	27.3	18.0	41.9	107.8	0.96	0.96	0.96	0.96	0.96
	2	ave	44.8	14.4	8.3	14.3	66.6	0.85	0.85	0.85	0.85	0.85	103.0	32.7	17.9	39.2	168.2	0.85	0.85	0.85	0.85	0.85
		-σ	53.3	17.3	9.7	16.7	75.0	1.07	1.07	1.07	1.07	1.07	108.2	37.9	20.2	41.4	178.4	1.07	1.07	1.07	1.07	1.07
		+σ	35.4	11.4	6.5	12.4	56.3	0.64	0.64	0.64	0.64	0.64	91.8	27.3	15.0	34.3	164.0	0.64	0.64	0.64	0.64	0.64



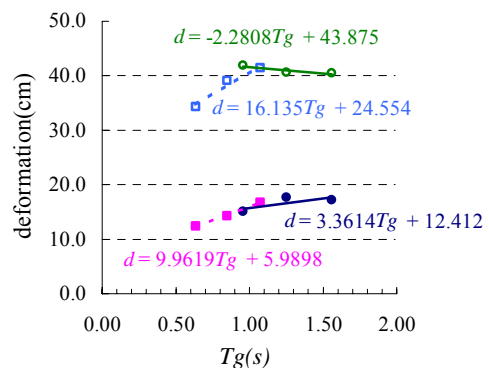
1) Dip波(no.18)



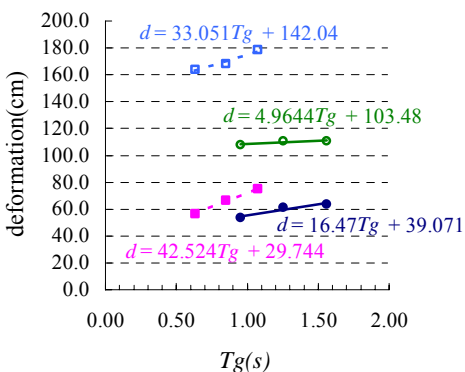
2) 八戸波(no.19)



3) 神戸波(no.20)



4) Strike波(no.22)



5) Subduction波(no.23)

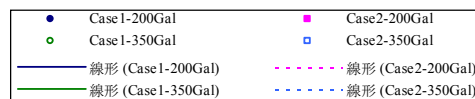
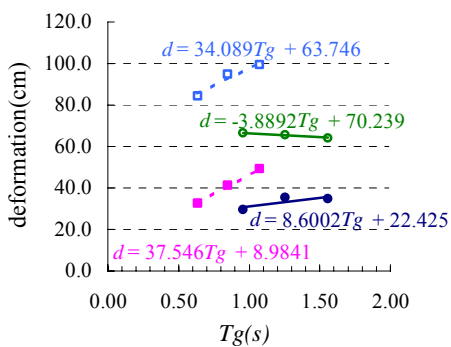


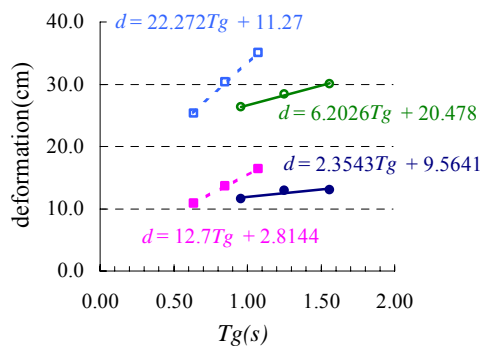
図-C.17 地盤固有周期と推定残留変形量の関係 (控え組杭式:水深-14.5m,kh=0.25)

表-C.18 地盤固有周期と推定残留変形量 (控え組杭式: 水深-14.5m, kh=0.27)

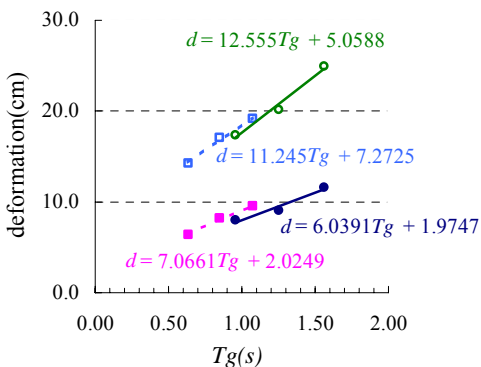
			加速度200Gal										加速度350Gal									
			変形量(cm)					Tg(s)					変形量(cm)					Tg(s)				
			no18	no19	no20	no22	no23	no18	no19	no20	no22	no23	no18	no19	no20	no22	no23	no18	no19	no20	no22	no23
-14.5	1	ave	35.3	12.9	9.1	17.1	59.7	1.25	1.25	1.25	1.25	1.25	65.5	28.4	20.2	39.1	107.3	1.25	1.25	1.25	1.25	1.25
		-σ	34.8	13.0	11.6	16.6	61.9	1.56	1.56	1.56	1.56	1.56	64.1	30.1	24.9	39.0	107.6	1.56	1.56	1.56	1.56	1.56
		+σ	29.6	11.6	8.0	14.7	52.3	0.96	0.96	0.96	0.96	0.96	66.4	26.3	17.4	40.3	104.7	0.96	0.96	0.96	0.96	0.96
	2	ave	41.3	13.7	8.2	13.9	61.5	0.85	0.85	0.85	0.85	0.85	94.6	30.4	17.1	36.7	154.7	0.85	0.85	0.85	0.85	0.85
		-σ	49.1	16.4	9.5	16.2	69.2	1.07	1.07	1.07	1.07	1.07	99.4	35.1	19.2	38.9	164.1	1.07	1.07	1.07	1.07	1.07
		+σ	32.6	10.8	6.4	11.9	52.0	0.64	0.64	0.64	0.64	0.64	84.4	25.3	14.3	32.2	150.8	0.64	0.64	0.64	0.64	0.64



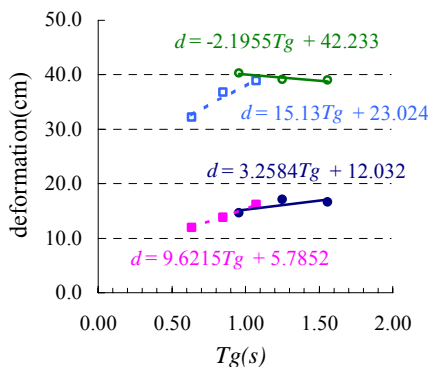
1) Dip波(no.18)



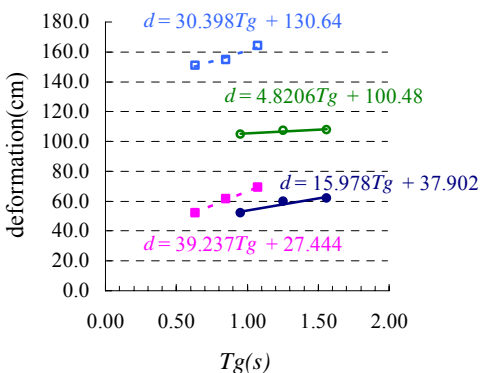
2) 八戸波(no.19)



3) 神戸波(no.20)



4) Strike波(no.22)



5) Subduction波(no.23)

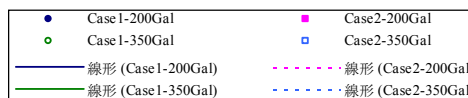


図-C.18 地盤固有周期と推定残留変形量の関係 (控え組杭式: 水深-14.5m, kh=0.27)